

УДК 532.5: 533.6.011.5

## АВТОМОДЕЛЬНЫЕ ТЕЧЕНИЯ С УДАРНОЙ ВОЛНОЙ, ДВИЖУЩЕЙСЯ К ЦЕНТРУ ИЛИ К ОСИ СИММЕТРИИ

© 2023 г. Х. Ф. Валиев<sup>а</sup>, А. Н. Крайко<sup>а,\*</sup>

<sup>а</sup>Центральный институт авиационного моторостроения (ЦИАМ) им. П.И. Баранова,  
Москва, Россия

\*E-mail: akraiko@ciam.ru

Поступила в редакцию 04.06.2023 г.

После доработки 06.06.2023 г.

Принята к публикации 06.06.2023 г.

Изучаются одномерные течения идеального (невязкого и нетеплопроводного) совершенного газа с показателем адиабаты  $\gamma$  за ударной волной, движущейся к центру ( $v = 3$ ) или к оси ( $v = 2$ ) симметрии по неподвижному холодному газу. Допускаются течения с отраженной ударной волной и течения, заканчивающиеся при одновременном приходе в центр симметрии ударной волны и поршня, сжавшего газ в точку или в линию.

*Ключевые слова:* центр (ось) симметрии, поршни и ударные волны, огибающая  $C^-$ -характеристик, неавтомодельные ударные волны, автомодельные течения сжатия в точку (в линию)

DOI: 10.31857/S1024708423700060, EDN: YNXIMR

Первое автомодельное решение с отраженной ударной волной нашел К. Гудерлей. В его решении показатель автомодельности  $n = n_*(v, \gamma) < 1$  находится из условия существования изучаемого течения. При  $n = n_*(v, \gamma)$  возможны также не рассматривавшиеся ранее автомодельные течения с поршнем, расширяющимся из центра симметрии после прихода в него сходящейся ударной волны. Внимание к течениям с  $n \neq n_*(v, \gamma)$  в 2015–2017 гг. привлекли В. Куропатенко с коллегами. Выполненный ниже анализ этих течений показал, что построенные для  $n > n_*(v, \gamma)$  течения с отражением ударной волны автомодельны лишь в криволинейном треугольнике плоскости координата-время. Одна из его сторон – отрезок траектории автомодельной ударной волны, не дошедшей до центра симметрии. При  $n < n_*(v, \gamma)$  получают построенные В. Куропатенко полностью автомодельные течения сжатия газа в точку.

### 1. АВТОМОДЕЛЬНЫЕ РЕШЕНИЯ ОБ ОТРАЖЕНИИ НЕСТАЦИОНАРНОЙ УДАРНОЙ ВОЛНЫ ОТ ОСИ ИЛИ ЦЕНТРА СИММЕТРИИ

В 1942 г. К. Гудерлей [1] (см. также [2, 3]) решил задачу об отражении ударной волны (УВ) от оси или от центра симметрии (ниже, – от “центра симметрии – ЦС”). При приближении УВ к ЦС ее интенсивность растет неограниченно. Возможно, поэтому в [1] искались автомодельные решения с сильной УВ IS, движущейся по неподвижному холодному газу со скоростью  $D = D(t) < 0$  с началом отсчета времени  $t$  в момент прихода УВ IS в ЦС. Для совершенного газа его радиальная скорость  $u$ , скорость звука  $a$ , плотность  $\rho$  и давление  $p$  за сильной УВ равны [2–5]:

$$u = \frac{2}{\gamma + 1} D, \quad a = -\frac{\sqrt{2\gamma(\gamma - 1)}}{\gamma + 1} D, \quad \rho = \frac{\gamma + 1}{\gamma - 1} \rho_0, \quad p = \frac{2}{\gamma + 1} \rho_0 D^2 \quad (1.1)$$

При радиальной координате  $r$  параметры течения представляются в одной из двух эквивалентных форм с автомодельной переменной  $\xi$  или  $\tau$ :

$$\xi = Cr \times \begin{cases} (-t)^{-n}, & t \leq 0, \\ t^{-n}, & t > 0; \end{cases} \quad \tau = \frac{Ct}{r^k}, \quad k = \frac{1}{n} \quad (1.2)$$

$$u = n \frac{r}{t} U, \quad a = n \frac{r}{t} A, \quad \rho = \rho_0 R, \quad p = \rho_0 n^2 \frac{r^2}{t^2} P, \quad P = \frac{R}{\gamma} A^2$$

В решении К. Гудерля показатель степени  $n$  подлежит определению,  $U$ ,  $A$  и  $R$  – функции  $\xi$  или  $\tau$ , а константа  $C$  произвольна. К. Гудерлей работал с переменной  $\xi$ , конечной на УВ IS, бесконечной на оси  $r$  и равной нулю на полуоси  $t > 0$ . Единая для всех  $t$  переменная  $\tau$  с  $C > 0$  монотонно растет от отрицательной величины на УВ IS до нуля на оси  $r$  и до бесконечности на полуоси  $t > 0$ .

Обыкновенные дифференциальные уравнения, которые получаются при подстановке представлений (1.2) с переменной  $\tau$  в уравнения, описывающие нестационарные течения идеального совершенного газа с единственной ненулевой  $r$ -компонентой вектора скорости  $u$ , сводятся к системе

$$\frac{dA}{dU} = \frac{Af_2}{2(1-U)f_1}, \quad \frac{d\tau}{dU} = \gamma k \frac{\tau f}{f_1}, \quad \frac{d \ln R}{dU} = \frac{f_3}{(1-U)f_1}$$

$$f = (1-U)^2 - A^2, \quad f_1 = \gamma(1-U)(k-U)U + (2k-2-\nu\gamma U)A^2 \quad (1.3)$$

$$f_2 = \gamma[2(k-U) - \nu(\gamma-1)U]f + (\gamma-1)f_1, \quad f_3 = f_1 - \nu\gamma Uf$$

Подстановка тех же представлений в условия (1.1), в которых в силу этих представлений  $D = r_{IS}/(kt) = nr_{IS}/t$ , дает

$$U_{IS} \equiv U(\tau_{IS}) = \frac{2}{\gamma+1}, \quad A_{IS} = -\frac{\sqrt{2\gamma(\gamma-1)}}{\gamma+1}, \quad R_{IS} = \frac{\gamma+1}{\gamma-1} \quad (1.4)$$

Не входящую в уравнения (1.3) и в условия (1.4) константу  $C$  можно выбрать такой, чтобы величина  $\tau_{IS}$  была равна любому числу, например,  $-1$ . Представление УВ IS степенной кривой  $r^{k > 1} = -Ct$ , приходящей при  $t = 0$  в ЦС, не гарантирует существования такого течения. Понять это поможет анализ интегральных кривых и особых точек первого уравнения (1.3). На оси  $r$  при  $r > 0$  переменная  $\tau = 0$ , а  $u$  и  $a$  конечны. Согласно (1.2) такое возможно только при  $U(0) = A(0) = 0$ . Поэтому для любых  $k > 1$  интегральные кривые решений, содержащих ось  $r$  или ее конечный отрезок, из точки IS с  $U$  и  $A$  из (1.4) должны прийти в начало координат  $A = U = 0$  плоскости  $UA$ . Но точка IS лежит под данной на рис. 1 штрихами “звуковой” прямой:  $A = U - 1$ . На ней равна нулю функция  $f$  из второго уравнения (1.3), а идущая из точки IS интегральная кривая должна ее пересечь. При произвольном  $k$  в точке пересечения интегральной кривой со звуковой прямой функция  $f_1 \neq 0$ , и у  $\tau$  вместо монотонного роста возникает локальный максимум  $\tau = \tau_{0*}$ , исключающий продолжение решения на  $\tau > \tau_{0*}$ . На рис. 1 и далее стрелки на интегральных кривых указывают направление роста переменной  $\tau$ , а на красной кривой равна нулю функция  $f_1(U, A)$ .

Каждой точке прямой:  $A = U - 1$  плоскости  $UA$  в плоскости  $rt$  отвечает кривая с  $dr/dt = u - a$ , как у  $S^-$ -характеристик. Эти кривые, однако, – не  $S^-$ -характеристики, а их огибающие, поскольку при  $f_1 \neq 0$  на них не выполняется условие совместности для  $S^-$ -характеристик. Огибающая становится  $S^-$ -характеристикой, если в точке пересечения выполняются два равенства:  $f = 0$  и  $f_1 = 0$ . Их следствие – равенство  $f_2 = 0$  делает точку пересечения особой точкой (седлом – SP или узлом – NP) первого уравнения (1.3). По интегральной кривой, совпадающей с одной из сепаратрис седла или с главным усом узла, переход через звуковую прямую становится возможным, а выбор  $n = n_*(\nu, \gamma)$  позволяет интегральной кривой соединить особую точку с точкой IS. Для  $\nu = 3$  и  $\gamma = 5/3$  именно такая ситуация с седлом SP и  $n_* = 0.68838$  изображена на рис. 1. Начало координат  $A = U = 0$  – узел первого уравнения (1.3) с пришедшей в него жирной интегральной кривой, пересекающей звуковую прямую. Для  $\nu = 2$  и 3 и нескольких значений  $\gamma$  величины  $n_* = n_*(\nu, \gamma)$  приведены в табл. 1.

При  $k = k_* = 1/n_* > 1$  за УВ IS в момент ее прихода в ЦС бесконечны  $p$  и энтропийная функция  $S = \gamma p/\rho^\gamma$ . При любом увеличении в отраженной УВ RS функция  $S$  в ЦС (при  $r = 0$  и  $t > 0$ ) остается бесконечной. Но газ с  $p = \infty$  мгновенно расширяется до конечного давления и нулевой плотности, которые, сохранив  $S = \infty$ , обращают в бесконечность скорость звука  $a = (\gamma p/\rho)^{1/2} =$

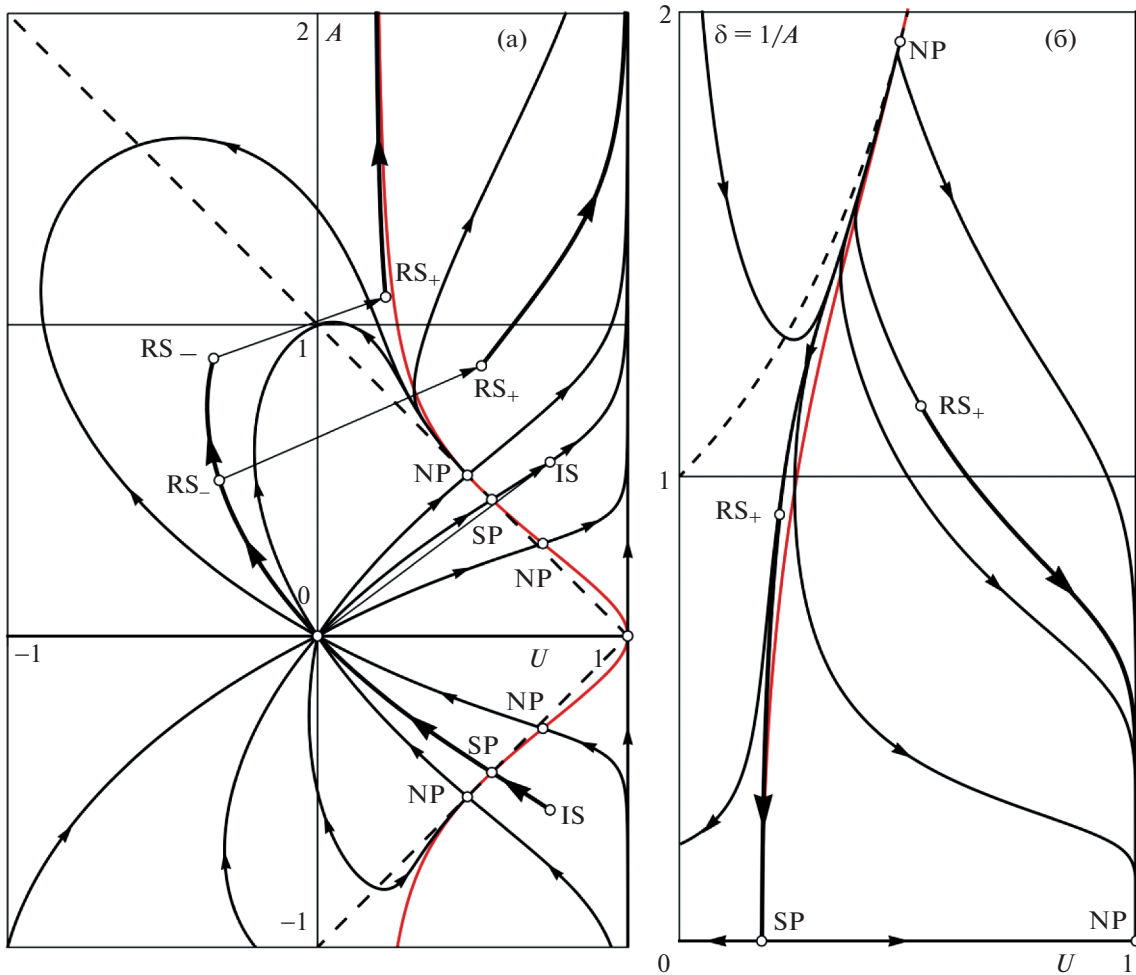


Рис. 1. Интегральные кривые, особые точки, “звуковые” прямые:  $f = 0$  и УВ RS (верхняя стрелка) решения К. Гудерля для  $\nu = 3$ ,  $\gamma = 5/3$  и  $n_* = 0.68838$ .

$= n_*(r/t)A = \infty$  на полюси  $t > 0$ . Значит,  $A(\tau = \infty) = \infty$ , и переход от  $A$  к переменной  $\delta = 1/A$  приводит к уравнениям

$$\frac{d\delta}{dU} = \frac{\delta f_2}{2(U-1)f_1}, \quad \frac{d\tau}{dU} = \gamma k_* \frac{\tau f}{f_1}$$

$$f = (1-U)^2 \delta^2 - 1, \quad f_1 = \gamma(1-U)(k_* - U)U\delta^2 + 2(k_* - 1) - \nu\gamma U$$

$$f_2 = (\gamma - 1)f_1 + \gamma[2(k_* - U) - \nu(\gamma - 1)U]f \tag{1.5}$$

Ось  $U$ , на которой  $\delta = 0$ , – интегральная кривая первого уравнения (1.5). Иные интегральные кривые прийти на эту ось могут только в ее особые точки:  $\delta = 0, U = 1$  и  $\delta = 0, U = 2(k_* - 1)/(\nu\gamma)$ . На рис. 1б первая из них – узел, а вторая – седло. В узле в силу второго уравнения (1.5) переменная  $\tau$  конечна, а в седле  $\tau = \infty$ . Поэтому часть искомой интегральной кривой – отрезок сепаратрисы седла. В точку  $RS_+$  сепаратрисы решение попадает скачком (верхней стрелкой на рис. 1а) из точки  $RS_-$ , причем для  $U_+$  и  $A_+$  за отраженной УВ RS верны формулы [5]:

$$U_+ = 1 - \frac{2A^2 + (\gamma - 1)(1 - U_-)^2}{(\gamma + 1)(1 - U_-)}$$

$$A_+ = \frac{\sqrt{2(\gamma - 1)[\gamma(1 - U_-)^4 - A^4] + (6\gamma - \gamma^2 - 1)A^2(1 - U_-)^2}}{(\gamma + 1)(1 - U_-)} \tag{1.6}$$

**Таблица 1.** Показатели степени  $n_0 = n_0(\nu, \gamma)$  и  $n_* = n_*(\nu, \gamma)$

$\nu$	$\gamma$	$n_0$	$n_*$
2	3	0.33333	0.77567
2	5/3	0.60000	0.81562
2	7/5	0.71429	0.83532
2	4/3	0.75000	0.84226
2	6/5	0.83333	0.86116
3	3	0.25000	0.63641
3	5/3	0.50000	0.68838
3	7/5	0.62500	0.71717
3	4/3	0.66667	0.72769
3	6/5	0.76923	0.75714

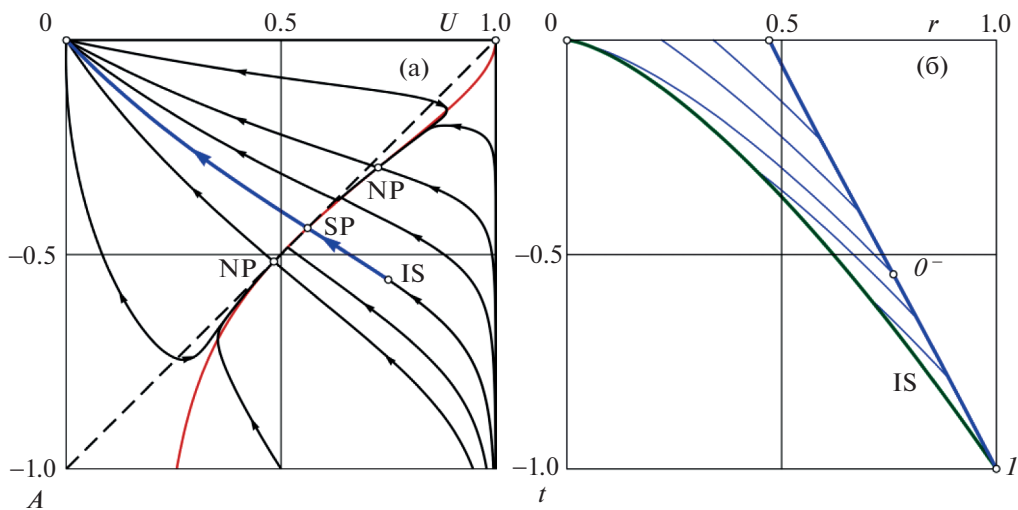
При построении решения точка  $RS_-$  с  $U_-$  и  $A_-$  на пришедшей из точки IS интегральной кривой выбирается так, чтобы в согласии с равенствами (1.6) точка  $RS_+$  попала на идущую на рис. 1б сверху сепаратрису седла первого уравнения (1.5).

В большем масштабе 4-й квадрант рис. 1а и часть  $rt$ -диаграммы, которая, отвечая жирному отрезку интегральной кривой, соединившей точку IS с началом координат  $U = A = 0$ , представлены на рис. 2. На рис. 2б левая (правая) вышедшая из точки I жирная кривая – УВ IS (траектория поршня), а соединяющие их отрезки –  $C^-$ -характеристики. Один из них, соединяющий точку  $0^-$  с началом координат, –  $C^-$ -характеристика, отвечающая седлу SP на звуковой прямой рис. 2а. На не показанной на  $rt$ -диаграмме полуоси  $t > 0$  скорость газа  $u = n_* r U / t = 0$ , как и должно быть в ЦС.

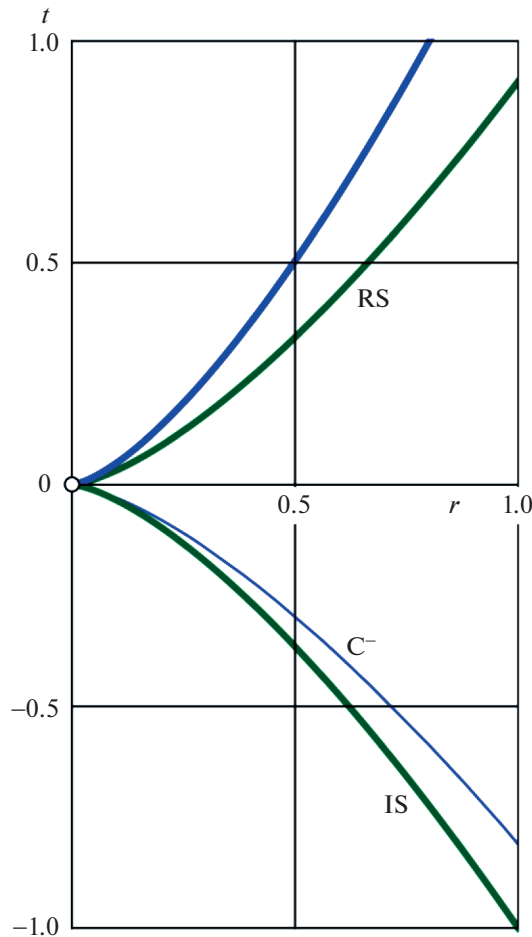
При том, что решением К. Гудерлея занимались многие исследователи, наиболее полные и надежные результаты получены авторами данной статьи [5–8]. Правда, все, начиная с К. Гудерлея, прошли мимо автомодельных решений с поршнем, начавшим расширение из ЦС в момент прихода туда УВ IS решения К. Гудерлея. Восполним этот пробел.

Положив в (1.6)  $A_- = U_- = 0$ , придем к значениям

$$U_+ = U_{IS} = \frac{2}{\gamma + 1}, \quad A_+ = A_{IS} = \frac{\sqrt{2\gamma(\gamma - 1)}}{\gamma + 1} \tag{1.7}$$



**Рис. 2.** Квадрант IV плоскости UA (а) и часть  $rt$ -диаграммы (б) решения К. Гудерлея с отражением УВ от ЦС для  $\nu = 3, \gamma = 5/3$  и  $n_* = 0.68838$ .



**Рис. 3.**  $rt$ -Диаграмма автомодельного течения с поршнем, начавшим расширяться из ЦС при приходе в него УВ IS, для  $\nu = 3$ ,  $\gamma = 5/3$  и  $n = n_* = 0.68838$ .

за движущейся от ЦС сильной УВ, показанной на рис. 1а стрелкой между началом координат и верхней точкой IS. УВ с  $U_{IS}$  и  $A_{IS}$  из (1.7) – самая интенсивная из множества УВ, значения  $U_-$  и  $A_-$  которых отвечают точкам отрезка жирной интегральной кривой из 2-го квадранта рис. 1а. Интегральные кривые, дающие изменения  $U$  и  $A$  от УВ до поршня, заканчиваются в узле  $U = 1$ ,  $\delta = 0$  рис. 1б. На рис. 3 приведена  $rt$ -диаграмма одного из таких автомодельных течений с прежними  $\nu$ ,  $\gamma$  и  $n_*$ , но с  $U_- \approx -0.32$  и  $A_- = 0.50$  и еще одной стрелкой на рис. 1а. Левая верхняя кривая на рис. 3 – траектория поршня, расширяющегося при  $t \geq 0$  из ЦС.

## 2. АВТОМОДЕЛЬНЫЕ РЕШЕНИЯ В. КУРОПАТЕНКО С УДАРНОЙ ВОЛНОЙ, ИДУЩЕЙ К ОСИ ИЛИ К ЦЕНТРУ СИММЕТРИИ

Продолжим изучение течений с УВ, движущейся к ЦС при показателях автомодельности  $1 < k \neq k_* = 1/n_*$ . Их изучал В. Куропатенко с коллегами [9–13], используя наряду с  $r$  массовую лагранжеву переменную  $m$ , при которой показателем автомодельности служит не  $n$ , а  $l = \nu n$ . Далее принималось, что изучаемые течения с движущейся по холодному неподвижному газу сильной УВ порождает поршень, движущийся из точки  $I$  с  $r = r_1$ ,  $m = m_1$ , и  $t = t_1 < 0$  к ЦС. При этом плотность и скорость газа  $\rho$  и  $u$  и координата  $r$  искались разделением переменных с привлечением условий (1.1), справедливых для сильных УВ, в форме

$$\xi = \frac{m}{m_1} \left( \frac{t_1}{t} \right)^l, \quad \rho = \frac{\gamma+1}{\gamma-1} \rho_0 \delta(\xi), \quad r^{v-1} u = r_1^{v-1} u_1 \left( \frac{t}{t_1} \right)^{l-1} Z(\xi) \quad (2.1)$$

$$r^v = r_1^v \left( \frac{t}{t_1} \right)^l X(\xi), \quad \frac{1}{t_1} = v \frac{\gamma+1}{2l r_1} u_1$$

$$\delta(1) = Z(1) = X(1) = 1 \quad (2.2)$$

Здесь  $u_1$  – скорость газа за УВ IS в точке  $l$ .

Подстановка выражений (2.1) в уравнения Эйлера, описывающие изучаемые течения в переменных  $t$  и  $m$ , приводит к обыкновенным дифференциальным уравнениям (“штрих” – дифференцирование по  $\xi \geq 1$ )

$$G\delta' = H, \quad GZ' = \frac{\gamma-1}{2\delta^2} \xi H, \quad \xi X' = X - \frac{2Z}{\gamma+1}, \quad G = \frac{\gamma\delta^{\gamma-1} X^{2-2/\gamma}}{\xi^{2/l-2/\gamma}} - \frac{\gamma-1}{2\delta^2} \xi^2$$

$$H = 2 \frac{(v-l)\delta^\gamma X^{2-2/\gamma}}{v l \xi^{1+2/l-2/\gamma}} - \frac{l-1}{l} Z + \frac{2(v-1)Z^2}{v(\gamma+1)X} \quad (2.3)$$

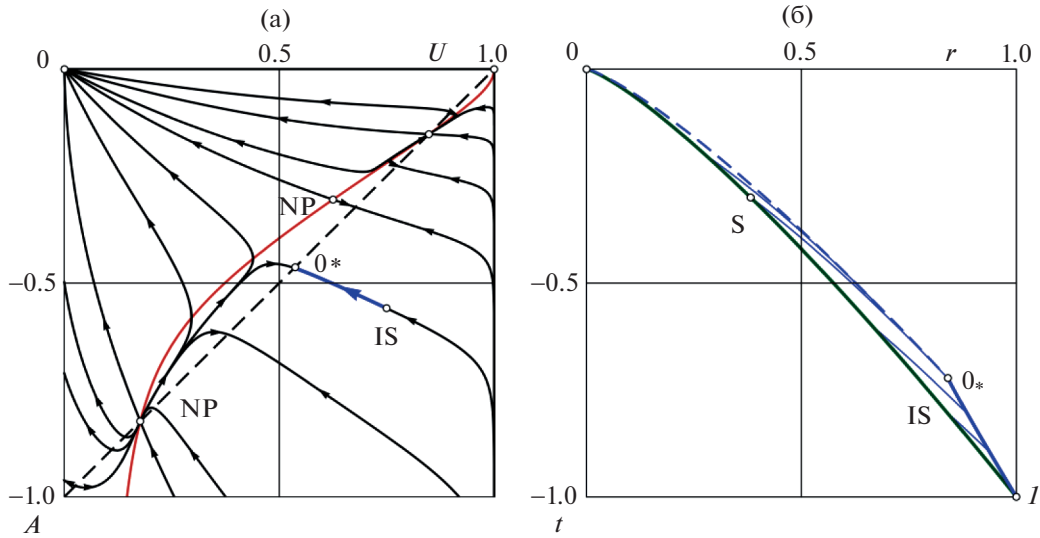
В [9–13] решение задачи Коши для уравнений (2.3) с начальными условиями (2.2) приводило к разным результатам для  $n$  (или  $l = vn$ ), больших и меньших  $n_*$  (или  $l_* = vn_*$ ). Для  $n > n_*$  при некотором  $\xi_{0*} > 1$  всегда обращалась в нуль функция  $G_{0*}$  при в общем случае отличной от нуля функции  $H_{0*}$ . Утверждение авторов [8–12], что в таком случае приходящая в ЦС кривая:  $m/m_1 = \xi_{0*}(t/t_1)^l - C^-$ -характеристика, ошибочно. Равенство  $G_{0*} = 0$  означает, что на указанной кривой  $dr/dt = u - a$ , т.е. ее  $C^-$ -характеристики всего лишь касаются.  $C^-$ -характеристикой она будет только, если на ней наряду с  $G_{0*} = 0$  выполнится равенство  $H_{0*} = 0$ , эквивалентное условию совместности для  $C^-$ -характеристик. При  $H_{0*} \neq 0$  она – их огибающая, делающая невозможным построение автомодельной траектории поршня на  $\xi > \xi_{0*}$  и  $t > t_{0*}$  и свидетельствующая о возникновении в точке  $0_*$  неавтомодельной УВ – третьего отрезка границы не доходящей до ЦС треугольной в плоскости  $rt$  области автомодельного течения.

Найденные в [9–13] показатели  $n_*(v, \gamma)$ , при которых одновременно равны нулю функции  $G_{0*}$  и  $H_{0*}$ , для всех рассмотренных  $v$  и  $\gamma$  не отличаются от найденных в [1, 2, 5–8]. С учетом этого, правда, не отмеченного в [9–13] обстоятельства и большей простоты привычного автомодельного подхода, анализ решений для  $n \neq n_*$  продолжим в рамках уравнений и условий (1.2)–(1.4), приняв вслед за В. Куропатенко, что изучаемые течения реализует поршень, начинающий движение к ЦС из точки  $l$  плоскости  $rt$  на УВ IS. На траектории поршня:  $dr/dt = u$  в силу формул (1.2) и уравнений (1.3) выполняются равенства

$$\frac{dt}{t} = \frac{1}{1-U} \frac{d\tau}{\tau}, \quad \frac{dr}{r} = \frac{U/k}{1-U} \frac{d\tau}{\tau} \quad (2.4)$$

Согласно им при  $0 < U < 1$  изменения времени и координаты траектории поршня аналогичны изменению переменной  $\tau$ . Так, если  $|\tau_0| > 0$  в конце интегральной кривой, то  $|t_0| > 0$  и  $r_0 > 0$ , т.е. поршень до ЦС не доходит. Если же  $\tau_0 = 0$ , то  $t_0 = r_0 = 0$ , и такие решения описывают сжатие газа в точку.

Течения с  $|\tau_0| > 0$  реализуются, если, начавшись в точке IS, интегральная кривая первого уравнения (1.3) приходит в точку  $0_*$  прямой:  $A = U - 1$  плоскости  $UA$  с  $f_1(U_{0*}, A_{0*}) \neq 0$ . Величина  $\tau_{0*} < 0$  достигает в этой точке локального максимума, из-за чего продолжение автомодельного решения на значения  $\tau$ , превышающие  $\tau_{0*}$ , оказывается невозможным. Как и в [9–13], такая ситуация всегда имеет место при  $1 > n > n_*(v, \gamma)$ . Типичное поле интегральных кривых и особых точек первого уравнения (1.3) в 4-м квадранте плоскости  $UA$  и неполная  $rt$ -диаграмма для этого случая приведены на рис. 4.



**Рис. 4.** Плоскость  $UA$  (а) и неполная  $rt$ -диаграмма (б) течения с УВ, движущейся к ЦС, для  $\nu = 3$ ,  $\gamma = 5/3$  и  $n = 0.8 > n_* = 0.68838$ .

Как уже отмечалось, при  $f_1 \neq 0$  точке  $0_*$  интегральной кривой, пришедшей на звуковую прямую плоскости  $UA$ , на рис. 4б  $rt$ -диаграммы отвечает данная штрихами огибающая  $S^-$ -характеристик:  $Ct = r^k \tau_{0*}$ . Последняя, как и вышедшая из точки  $I$  одновременно с поршнем автомодельная УВ  $IS$  с уравнением траектории:  $Ct = -r^k$ , на первый взгляд, в ЦС прийти может. Этого, однако, не случится, ибо появление огибающей – свидетельство возникновения неавтомодельной УВ в точке  $0_*$  траектории поршня. Обгоняя и ликвидируя при этом  $S^-$ -характеристику  $0_*-S$ , возникшая УВ при  $t < t_s$  догонит автомодельную УВ  $IS$  до ее прихода в ЦС. Следовательно, при  $n > n_*$  автомодельное решение удастся реализовать лишь в удаленном от ЦС криволинейном треугольнике плоскости  $rt$ , ограниченном траекторией поршня  $I-0_*$  и отрезками автомодельной УВ  $IS$  и догнавшей ее неавтомодельной УВ, возникшей в точке  $0_*$  траектории поршня. В много меньшей окрестности ЦС движущаяся по холодному газу неавтомодельная УВ станет автомодельной УВ решения К. Гудерлея с  $n = n_*(\nu, \gamma)$ .

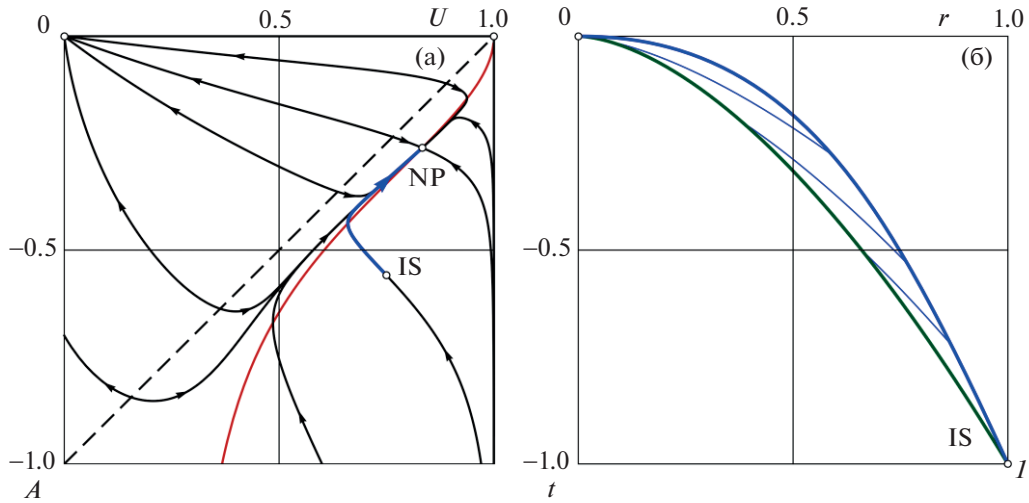
При показателях  $n < n_*(\nu, \gamma)$  получаются более интересные автмодельные решения с УВ  $IS$ , приходящей в ЦС, и с поршнем, сжимающим газ в точку. Для  $n_* > n > n_0$  с  $n_0 = n_0(\nu, \gamma)$ , определенным ниже (ряд значений  $n_0$  приведен в таблице), решение дает отрезок интегральной кривой первого уравнения (1.3) с началом в точке  $IS$  с  $U$  и  $A$  из (1.4) и концом в узле под звуковой прямой 4-го квадранта плоскости  $UA$ . Значения  $U$  и  $A$  в узле определяют уравнения  $f_1(U, A) = 0$  и  $f_2(U, A) = 0$ . Согласно им для таких  $n$  справедливы равенства и неравенства

$$n_*(\nu, \gamma) > n > n_0 = \frac{2}{2 + \nu(\gamma - 1)}, \quad U = \frac{n_0}{n} < 1$$

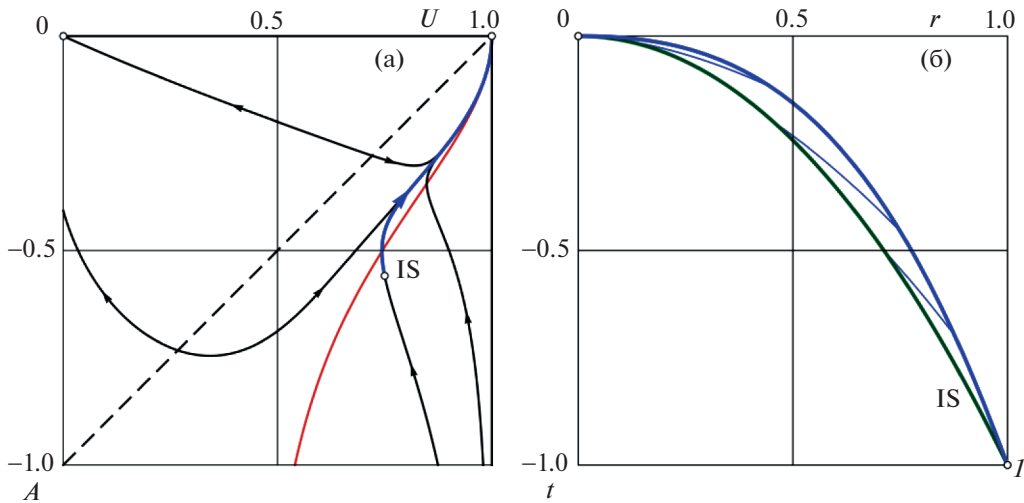
$$A^2 = B \equiv \frac{\gamma(1-U)(1-nU)U}{(2 + \nu\gamma U)n - 2} > 0, \quad A = -\sqrt{B}$$

Величина  $\tau$  в узле оказывается нулевой, приводя в силу равенств (2.4) к  $t = 0$  и  $r = 0$ , т.е. к автомодельному течению с поршнем и сильной УВ, сжимающими газ в точку. Сказанное выше иллюстрирует рис. 5. Смысл приведенных на нем линий и точек такой же, как на рис. 1–4. Так, на рис. 5б тонкие отрезки –  $S^-$ -характеристики, идущие с траектории поршня на УВ  $IS$ .

При еще меньших показателях степени  $0 < n < n_0 < n_*$  особой точкой, в которую приходит интегральная кривая первого уравнения (1.3) с началом в точке  $IS$  с  $U$  и  $A$  из (1.4), становится выродившаяся особая точка  $U = 1$  и  $A = 0$ . В согласии с [14] и выполненными расчетами дающая ре-



**Рис. 5.** Плоскость  $UA$  (а) и  $rt$ -диаграмма (б) течения с поршнем и УВ, сжимающими газ в точку, для  $\nu = 3$ ,  $\gamma = 5/3$  и  $n_0 = 0.5 < n = 0.6 < n_* = 0.68838$ .



**Рис. 6.** Плоскость  $UA$  (а) и  $rt$ -диаграмма (б) течения с поршнем и УВ, сжимающими газ в точку, для  $\nu = 3$ ,  $\gamma = 5/3$  и  $n = 0.49 < n_0 = 0.5 < n_* = 0.68838$ .

шение интегральная кривая входит в эту особую точку, касаясь вертикальной интегральной прямой  $U = 1$  и реализуя, как и в случае рис. 5, автомодельное решение ударного сжатия газа в точку ( $r = t = 0$ ). В окрестности этой особой точки

$$U \approx 1 - KA^2 < 1, \quad \tau \approx \tau_0 \left[ 1 + \frac{\gamma K / (1 - n)}{2 - \gamma(\gamma - 1)K} A^2 \right], \quad 0 < K < \frac{2}{\gamma(\gamma - 1)}$$

с постоянной интегрирования  $K$ .

Результаты расчетов, выполненных для двух таких значений  $n$ , приведены на рис. 6 и 7, близких к рис. 5.

### ЗАКЛЮЧЕНИЕ

Автомодельные решения с  $n = n_*$  и поршнем, начинающим расширение из ЦС при приходе в него УВ IS, и получающиеся при  $1 > n > n_*$  автомодельные решения в криволинейном треуголь-



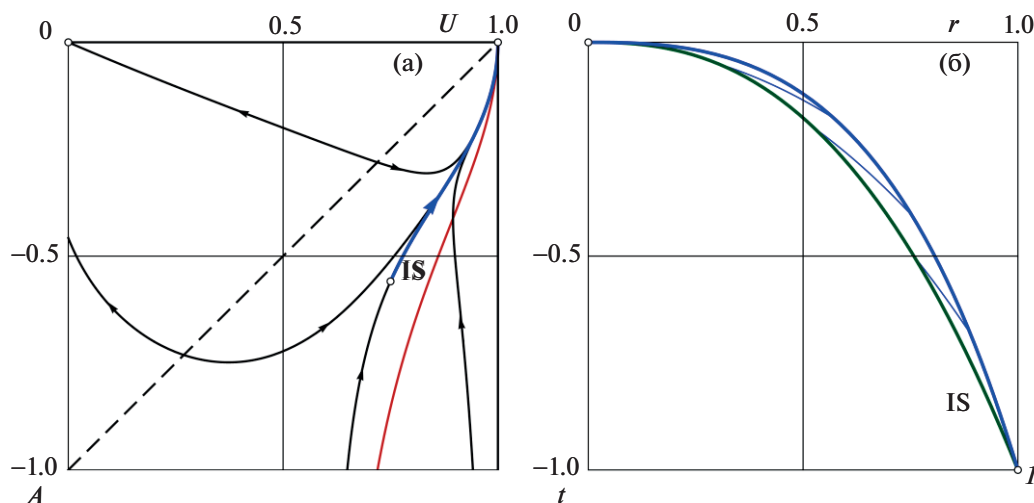


Рис. 7. Плоскость  $UA$  (а) и  $rt$ -диаграмма (б) течения с поршнем и УВ, сжимающими газ в точку, для  $\nu = 3$ ,  $\gamma = 5/3$  и  $n = 0.4 < n_0 = 0.5 < n_* = 0.68838$ .

нике плоскости  $rt$  с  $r > 0$  интересны исключительно для теории. В основном для теории интересны и получающиеся при  $n_* > n > 0$  автомодельные решения ударного сжатия газа в точку, поскольку для них большая часть работы поршня, а при  $n_0 > n$  вся его работа идет на увеличение кинетической энергии сжатого газа.

В связи с решениями для  $n \neq n_*$  выполненное исследование, уточнив некоторые моменты [9–13], продемонстрировало применимость и большую простоту привычного автомодельного подхода с одним уравнением из (1.3) и качественным анализом интегральных кривых в плоскости  $UA$  в сравнении с разделением переменных и решением системы трех уравнений (2.3). При этом главная заслуга В. Куропатенко с коллегами в том, что они нашли новые автомодельные решения, описывающие сжатие неподвижного холодного газа в точку.

Работа выполнена при поддержке Российского фонда фундаментальных исследований (20-01-00100).

## СПИСОК ЛИТЕРАТУРЫ

1. Guderley G. Starke kugelige und zylindrische Verdichtungsstöße in der Nähe des Kugelmittelpunktes bzw. der Zylinderachse // Luftfahrtforschung. 1942. Bd. 19. Lfg. 9. S. 302–312.
2. Брушлинский К.В., Каждан Я.М. Об автомодельных решениях некоторых задач газовой динамики // УМН. 1963. Т. 18. Вып. 2. С. 3–23.
3. Ландау Л.Д., Лифшиц Е.М. Теоретическая физика. Т. 6. Гидродинамика. М.: Наука, 1986.
4. Черный Г.Г. Газовая динамика. М.: Наука, 1988.
5. Крайко А.Н. Теоретическая газовая динамика: классика и современность. М.: Торус Пресс, 2010.
6. Крайко А.Н., Тилляева Н.И. Автомодельное сжатие идеального газа плоским, цилиндрическим или сферическим поршнем // ТВТ. 1998. Т. 36. № 1. С. 120–128.
7. Валиев Х.Ф. Отражение ударной волны от центра или оси симметрии при показателях адиабаты от 1.2 до 3 // ПММ. 2009. Т. 73. Вып. 3. С. 397–407.
8. Валиев Х.Ф., Крайко А.Н. Цилиндрически и сферически симметричное быстрое сильное сжатие идеального совершенного газа с показателями адиабаты от 1.001 до 3 // ПММ. 2011. Т. 75. Вып. 2. С. 314–326.
9. Куропатенко В.Ф., Шестаковская Е.С., Якимова М.Н. Динамическое сжатие холодного газового шара // Доклады РАН. 2015. Т. 461. № 5. С. 530–532.
10. Куропатенко В.Ф., Шестаковская Е.С., Якимова М.Н. Ударная волна в газовом шаре // Вестник ЮУрГУ. Математическое моделирование и программирование. 2016. Т. 9. № 1. С. 5–19.

11. Куропатенко В.Ф., Магазов Ф.Г., Шестаковская Е.С. Аналитическое решение задачи о сходящейся ударной волне в газе в одномерном случае // Вестник ЮУрГУ. Математика. Механика. Физика. 2017. Т. 9. № 4. С. 52–58.
12. Куропатенко В.Ф., Магазов Ф.Г. О фокусировке цилиндрически симметричной ударной волны в газе // Сб. материалов Международной конференции “XIII Забабахинские научные чтения”. Снежинск: Издательство РФЯЦ-ВНИИТФ, 2017. 424 с. С. 39–40.
13. Куропатенко В.Ф., Шестаковская Е.С. О сходящейся ударной волне в газе для больших значений показателя адиабатности // Сб. материалов Международной конференции “XIII Забабахинские научные чтения”. Снежинск: Издательство РФЯЦ-ВНИИТФ, 2017. 424 с. С. 55–56.
14. Богоявленский О.И. Методы качественной теории динамических систем в астрофизике и газовой динамике. М.: Наука, 1980.